

تاریخ ارسال 1395-06-26 تاریخ پذیرش 10-03-1396

اولویت بندی و پهنه بندی عوامل مؤثر بر وقوع زمین لغزش با استفاده از مدل آنتروپی^۱

(مطالعه موردي: منطقه باجگيران، قوچان)

ابوالقاسم امير احمدی، دانشیار ژئومورفولوژی، دانشگاه حکیم سبزواری، سبزوار

مهناز ناعمی تبار، فارغ التحصیل کارشناسی ارشد ژئومورفولوژی، دانشگاه حکیم سبزواری،
سبزوار (نویسنده مسئول) mahnaznaemi70@gmail.com

بهار گلکار استادی، فارغ التحصیل کارشناسی ارشد ژئومورفولوژی، دانشگاه حکیم
سبزواری، سبزوار

چکیده

منطقه باجگيران به دلیل شرایط جغرافیایی از جمله مناطق مستعد برای وقوع زمین لغزش است. هدف اصلی از این پژوهش اولویت بندی عوامل مؤثر بر وقوع زمین لغزش و پهنه بندی خطر وقوع زمین لغزه در منطقه می باشد. بدین منظور بعد از انجام مطالعات کتابخانه‌ای و تهیه نقشه پراکنده‌ی لغزش منطقه از ده پارامتر تاثیر گذار شامل ارتفاع، بارندگی، شبیب، جهت شبیب، شکل شبیب، فاصله از آبراهه، فاصله از جاده، فاصله از گسل، پوشش زمین و لیتولوژی استفاده شد و ماتریس آنتروپی برای این عوامل محاسبه و در محیط Gis پهنه بندی خطر زمین لغزش در منطقه انجام شد. اولویت بندی عوامل مؤثر با استفاده از شاخص آنتروپی نشان داد که لایه‌های شبیب، جهت شبیب، لیتولوژی، فاصله از گسل و ارتفاع بیشترین نقش را

¹ENTROPY

²Land slide

در وقوع زمین لغزش در منطقه دارند. پهنه‌بندی حساسیت زمین لغزش با مدل مذکور نشان میدهد که ۴۲٪ زمین لغزه‌ها در محدوده خطر زیاد، ۳۱٪ در محدوده خطر متوسط، ۲۷٪ در محدوده خطر کم واقع شده است. نتایج نشان می‌دهد بیشترین درصد لغزش‌های رخ داده در منطقه، در پهنه خطر زیاد که توسط مدل آنتروپی مشخص شده بود، قرار گرفته است. این امر حاکی از آن است که مدل پیشنهادی مدلی مناسب برای تعیین خطر حساسیت وقوع زمین لغزش در منطقه است.

کلید واژه‌ها: زمین لغزش، پهنه بندی، مدل آنتروپی، Gis، منطقه با جگیران

مقدمه

زمین لغزش^۱ یکی از پدیده‌های طبیعی است که هر ساله سبب ایجاد خسارات مالی و جانی فراوانی در سطح کشور می‌شود(کامرانزاد، ۱۳۹۳: ۱۰۱). زمین لغزش در ایران به عنوان یک بلای طبیعی، سالیانه خسارات جانی و مالی فراوانی به کشور وارد می‌سازد(علیپور و همکاران، ۱۳۹۴: ۱۷۷). امروزه موضوع زمین لغزش از مهم‌ترین مباحث در زمینه مخاطرات طبیعی است، چرا که وقوع آن می‌تواند خسارات انسانی و اقتصادی فراوانی را به ویژه در مناطق کوهستانی در پی داشته باشد. در سال‌های اخیر با توجه به صدمات زمین‌لغزش در زیرساخت‌های جامعه مانند جاده‌ها، ساختمان‌ها و ...، تلاش‌های بسیاری به منظور شناسایی مناطق مستعد وقوع این پدیده انجام گرفته است (حسین‌پور میل آغاردان و همکاران، ۱۳۹۳). این پدیده زمانی رخ می‌دهد که نیروی حاصل از وزن مواد بیش از نیروی مقاومت برشی ناشی از نیروی برشی خاک باشد(معماریان و همکاران، ۱۳۸۵: ۱۰۵). آنتروپی شانون تابعی از توزیع احتمال و معیاری برای اندازه‌گیری میزان عدم قطعیت در محتوای اطلاعات یک پارامتر است و با در نظر گرفتن فرکانس وقوع زیرگروه‌های آن پارامتر، بیانگر سطح ناهمگونی است و بدین ترتیب، تأثیر هر یک از پارامترها را

بر نتایج سیستم محاسبه می‌کند (حسین پور میل آغاردان و همکاران، ۱۳۹۳). شارما و همکاران^۱ (۲۰۱۰)، مدل آنتروپی را به منظور طبقه‌بندی خطر در منطقه‌ای از کشور هندوستان به کار برداشتند. همچنین پورقاسمی و همکاران (۱۳۹۳) نیز به بررسی وقوع زمین لغزش در منطقه صفارود پرداختند و مدل‌های احتمال شرطی و آنتروپی را در این راستا به کار گرفتند. زو و همکاران^۲ (۲۰۱۴) به منظور تجزیه و تحلیل پایداری شبیب با استفاده از منطق فازی و مدل آنتروپی شانون به این نتیجه رسیدند که با استفاده از این روش‌ها در منطقه مورد مطالعه می‌توان ارزیابی کارامد و قابل اطمینانی را ارائه داد. تاکنون روش‌های مختلفی برای پنهان بندی خطر زمین لغزش در کشور ارائه شده است که از آن جمله می‌توان به کارهای پیشین انجام شده به روش AHP (بای و حاجی میرحیمی، ۱۳۸۷، حاتمی فرد و همکاران، ۱۳۹۱)، روش آمار دو متغیره (نصرآزادانی و شیرانی، ۱۳۸۸)، روش نیلسن (شریفی و دریاباری، ۱۳۸۴)، روش رگرسیون چند متغیره (جوادی و همکاران، ۱۳۹۱؛ کردی و همکاران، ۱۳۹۱)، روش مدل آنتروپی (مقیمی و همکاران، ۱۳۹۱)، روش فاکتور اطمینان (بهشتی راد و همکاران، ۱۳۸۸)، روش منطق فازی (فرداد و همکاران، ۱۳۹۰)، روش شبکه عصبی مصنوعی (راکعی و همکاران، ۱۳۸۶؛ سوری و همکاران، ۱۳۹۰) و روش SVM (احمدآبادی و همکاران، ۱۳۹۴) اشاره کرد. پور قاسمی و همکاران (۱۳۹۰) با استفاده از تئوری بیزین در پنهان بندی خطر زمین-لغزش به این نتیجه رسیدند که عوامل لیتوژوژی و فاصله از جاده به عنوان مهمترین عوامل تأثیرگذار در منطقه مورد مطالعه محسوب می‌شوند. بندریک و همکاران^۳ (۲۰۱۰)، با استفاده از توزیع دو متغیره آماری به ارزیابی حساسیت زمین‌لغزش در منطقه کارل اونری در اسلوکی پرداختند و برای محاسبه وزن لایه‌های مورد بررسی از شاخص آنتروپی استفاده کردند. حسین‌زاده و همکاران (۱۳۹۴)، با استفاده از

¹Sharma. Etal

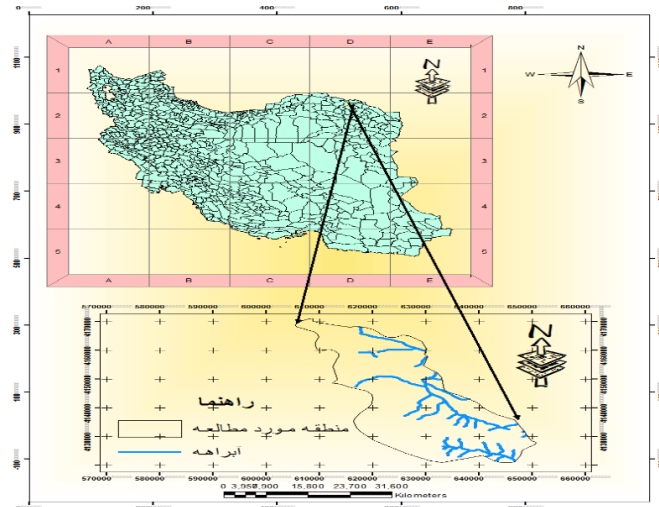
²Zou . etal

³Bednarik. etal

GIS و RS به بررسی عوامل مؤثر زمین‌لغزش در سد دوستی پرداختند و به این نتیجه رسیدند که بدلیل وجود بازارچه مرزی سرخس و رونق فعالیتهای کشاورزی در پایین دست، تردد ماشینهای سنگین موجب تسریع وقوع لغزش‌ها می‌شود. روستاوی و همکاران (۱۳۹۴)، معیارهای بارندگی، لیتولوژی، طبقات ارتفاعی نقش مهمی در زمین‌لغزش‌های حوضه آبخیز میمه در استان گیلان دارند. اهداف این پژوهش شامل انتخاب معیارها و استانداردها، تهیّه لایه‌های رقومی عوامل، تهیّه نقشه پهنه بندی خطر زمین‌لغزش در منطقه، تشخیص نقاط پرخطر با استفاده از شاخص آنتروپی شانون، ارائه راه کار مناسب جهت پیشگیری از خطرات احتمالی و ارائه راهکارهایی به منظور کاهش خسارات در منطقه مورد مطالعه می‌باشد.

موقعیت منطقه مورد مطالعه

باجگیران، مرکز بخش باجگیران جزء دولتخانه از شهرستان قوچان می‌باشد که در شمال شرقی استان خراسان و در سه کیلومتری مرز ایران و ترکمنستان و در فاصله تقریبی ۲۳ کیلومتری عشق‌آباد مرکز آن کشور قرار دارد. این شهر در مدار ۷۳ درجه و ۹۳ دقیقه به طول ۸۵ درجه و ۵۲ دقیقه عرض شمالی قرار گرفته است. فاصله این شهر تا قوچان، مرکز شهرستان ۴۸ کیلومتر و تا مشهد، مرکز استان ۴۱۲ کیلومتر می‌باشد. بر اساس تقسیمات آب و هوایی باجگیران از نوع معتدل کوهستانی است. از لحاظ زمین‌شناسی- ساختمانی جزء حوضه رخنمون هایی از واحدهای داغ است. از نظر چینه شناسی در منطقه مورد مطالعه رخنمون هایی از واحدهای سنگی ژوراسیک تا عهد حاضر دیده می‌شود (شکل ۱).



شکل ۱: موقعیت منطقه مورد مطالعه

مواد و روش‌ها

در این پژوهش ابتدا عوامل مؤثر در وقوع زمین لغزش شامل ارتفاع، بارندگی، شیب، جهت شیب، شکل شیب، فاصله از آبراهه، فاصله از جاده، فاصله از گسل، پوشش زمین و لیتوژئی بعنوان عوامل مؤثر بر وقوع زمین لغزش شناسایی و نقشه‌های مذکور در محیط Gis رقومی شد. بدین منظور با استفاده از نقشه توپوگرافی در مقیاس ۱:۵۰۰۰۰، نقشه مدل رقومی ارتفاع (DEM)، عوامل درجه شیب، جهت شیب، شکل شیب، طبقه ارتفاعی، فاصله از آبراهه، فاصله از جاده تهییه شد. با استفاده از نقشه کاربری اراضی ۱:۲۵۰۰۰ لایه‌های اطلاعاتی کاربری اراضی استخراج شد. برای تهییه نقشه لیتوژئی، فاصله از گسل از نقشه زمین شناسی ۱:۵۰۰۰۰ استفاده شد. برای تهییه نقشه بارندگی از آمار ایستگاه‌های باران سنجی ۵ ایستگاه درونگر، محمد تقی بیگ، امان قلی، کیکان، هی قوچان، بهمن جان استفاده شد. نقشه شیب، جهت شیب، شکل شیب از طریق ابزار Spatial Analysyt و گزینه

های slope و Aspect در نرم افزار Gis بدست آمد. نقشه فاصله از آبراهه، فاصله از گسل و فاصله از جاده از طریق ابزار Distance در Spatial Analyst تهیه شد. برای تهیه نقشه بارندگی از آمار ۱۵ ساله ایستگاهها استفاده شد و با بدست آوردن رابطه همبستگی بین ایستگاهها نقشه همبارش بدست آمد. با توجه به نقش هر عامل در وقوع لغرض به هر پارامتر بر اساس نظریات کارشناسی امتیاز داده شد و ماتریس ابتدایی با توجه به روش آنتروپی تشکیل شد. ماتریس تصمیم گیری حاوی اطلاعاتی است که آنتروپی می‌تواند به عنوان معیاری برای ارزیابی آن به کار رود و با محاسبه ماتریس آنتروپی و وزن کل هر عامل (W_j)، میزان H_i به عنوان ضریب وقوع خطر زمین لغزش به دست می‌آید(محمدخان و همکاران، ۱۳۹۳: ۹۴). سپس تمامی نقشه‌ها به رستر تبدیل شده و در وزن کل ده عامل که توسط مدل آنتروپی به دست آمده ضرب و در نهایت پس از جمع ده نقشه مذکور توسط ابزار Raster Calculator نقشه نهایی H_j حاصل شد. محتوای اطلاعاتی موجود در ماتریس تصمیم‌گیری در فرایند آنتروپی از رابطه (۱) محاسبه می‌شود:

$$E_j = -K = \sum_{i=1}^m P_{ij} j \ln p_{ij} \quad \text{رابطه ۱:}$$

در این رابطه E_j ارزش آنتروپی و p_{ij} ماتریس تصمیم گیری است.

$$P_{ij} = \frac{r_{ij}}{\sum_{i=1}^m r_{ij}} \quad \text{رابطه ۲:}$$

در این رابطه r_{ij} ارزش یا همان امتیاز اختصاص داده شده به هر لایه است.

$$K = (\ln m)^{-1} \quad \text{رابطه ۳:}$$

K ضریب ثابت و m تعداد زمین لغزش‌ها را نشان می‌دهد.

پس از تشکیل ماتریس تصمیم و به دست آمدن مقدار E_j می‌بایست مقدار V_j توسط رابطه شماره (۴) محاسبه گردد.

$$V_j = 1 - E_j \quad \text{رابطه ۴:}$$

V_j درجه انحراف عدم اطمینان است.

در پایان برای محاسبه وزن نهایی تمام عوامل (W_j) از رابطه شماره (۵) استفاده شد.

$$W_j = \frac{V_j}{\sum_{j=1}^m V_j} \quad \text{رابطه ۵:}$$

جهت تهیه نقشه نهایی از رابطه شماره (۶) استفاده شد.

$$H_i = \sum_{j=1}^n W_j \times r_{ij} \quad \text{رابطه ۶:}$$

در رابطه فوق H_i ضریب رخداد خطر زمین لغزش، W_j وزن نهایی تمام عوامل، r_{ij} وزن هر کدام از عوامل (مقیمی و همکاران، ۱۳۹۱: ۸۲).

بحث و نتایج

با بررسی‌های صورت گرفته از منطقه و شناسایی نقش عوامل تأثیرگذار در وقوع زمین لغزش و با توجه به ویژگی‌های لغزش‌های رخ داده به هریک از لایه‌های اطلاعاتی امتیاز داده شد (جدول ۱). سپس تمام لایه‌های اطلاعاتی (ارتفاع، بارندگی، شبیب، جهت شبیب، شکل شبیب، فاصله از آبراهه، فاصله از جاده، فاصله از گسل، پوشش زمین و لیتولوژی) به رستر تبدیل شده و امتیاز دهی شدند و این لایه‌ها به عنوان داده‌های اصلی در تشکیل ماتریس آنتروپی استفاده شدند.

جدول ۱: امتیاز اختصاص یافته به هر یک از عوامل موثر در وقوع زمین لغزش

امتیاز	جهت شبیب	امتیاز	فاصله از گسل	امتیاز	کاربری اراضی
۱	مسطح	۹	> ۳۰۰	۵	مخلوط زراعت و باغ
۹	شمال	۷	۳۰۰-۷۰۰	۸	زراعت دیم

۷	شمال شرقی	۵	۷۰۰-۱۱۰۰	۷	کم تراکم
۴	شرق	۲	۱۱۰۰-۱۵۰۰	۶	نیمه تراکم
۲	جنوب شرقی	۱	<۱۵۰۰	۵	متراکم
۳	جنوب			۶	بیرون زدگی سنگی
۵	جنوب غربی			۴	شور با پوشش گیاهی
۳	غرب			۷	مخلوط مرتع و دیم
۶	شمال غربی			۵	باتلاق
امتیاز	فاصله از آبراهه	امتیاز	بارندگی	امتیاز	ارتفاع
۹	>۱۰۰	۵	۱۰۰ - ۲۰۰	۱	۸۰۰ - ۹۰۰
۸	۱۰۰ - ۲۰۰	۹	۲۰۰ - ۳۰۰	۳	۹۰۰ - ۱۰۰۰
۷	۲۰۰ - ۳۰۰	۷	<۳۰۰	۴	۱۰۰۰ - ۱۱۰۰
۵	۳۰۰ - ۴۰۰			۵	۱۱۰۰ - ۱۲۰۰
۳	۴۰۰ - ۵۰۰			۶	۱۲۰۰ - ۱۳۰۰
۱	<۱۵۰۰			۷	۱۳۰۰ - ۱۴۰۰
				۸	۱۴۰۰ - ۱۵۰۰
				۹	۱۵۰۰ - ۱۶۰۰
امتیاز	شیب	امتیاز	فاصله (m) از جاده	امتیاز	لیتوژوئی
۶	۱۵ - ۳۰	۴	>۳۰۰	۹	شیل خاکستری و مارن
۸	۳۰ - ۴۵	۷	۳۰۰-۱۰۰	۶	مارن روشن
۷	۴۵ - ۶۰	۹	<۱۰۰	۸	سنگ اهک
۹	>۶۰			۹	سنگ آهک و شیل قهوه‌ای روشن(سازند تیرگان)
		امتیاز	شكل شیب	۴	نشوژن قرمز

		۸	محدب	۱	کواترنری
		۵	مقعر	۶	سازند شوریجه
		۲	بکنواخت	۳	ماسه سنگ و کنگلومراي ماسه‌اي و مارن
				۷	سازند سنگانه
				۸	سازند سرچشمہ
				۴	تراس

ماخذ: نگارندگان

در این پژوهش از مقیاس دو قطبی برای تبدیل مقادیر کیفی به کمی استفاده شد، مقیاس دو قطبی فاصله‌ای روشی عمومی در رتبه بندی شاخص‌های کمی و کیفی است. اندازه‌گیری در این روش بر اساس یک مقیاس ده نقطه‌ای است. به طوری که صفر مشخص کننده کمترین ارزش ممکن که عملاً قابل درک باشد و ده نشان دهنده حداکثر ارزش ممکن از شاخص موردنظر است(محمدخان و همکاران، ۱۳۹۳: ۹۵). ماتریس تصمیم گیری حاوی اطلاعاتی است که که آنتروپی می‌تواند به عنوان معیاری برای ارزیابی آن بکار رود(جدول ۱). در این ماتریس A_{ij} گزینه‌هایی است که می‌خواهیم رتبه بندی کنیم. X_j شاخص‌هایی است که گزینه‌ها را بر اساس آنها ارزیابی می‌کنیم. r_{ij} ارزش هر شاخص مناسب با هر یک از گزینه‌ها است. پس از تشکیل ماتریس آنتروپی (r_{ij}) و تبدیل این معیارها به عدد صحیح با محاسبه نمودن روابط و تبدیل مقادیر کیفی به کمی اطلاعات موجود در ماتریس به صورت (P_{ij}) به دست آمد و برای هر کدام از عوامل موثر در لغزش منطقه مقدار E_j محاسبه شد(جدول ۲).

جدول ۱: ماتریس تصمیم گیری

X_1	X_2	.	.	X_a
-------	-------	---	---	-------

A_1	r_{11}	r_{12}	.	.	r_{1a}
A_2	r_{21}	R_{22}	.	.	r_{2a}
.
.
.
A_m	r_{m1}	r_{m2}	.	.	r_{mn}

مأخذ: شریفی و همکاران، ۱۳۹۰: ۳۳۹

جدول ۲: مقادیر شاخص‌های محاسبه شده برای عوامل موثر در لغزش‌های منطقه

شاخص های محاس به شده	ارتفاع	بارندگی	جهت شیب	شكل شیب	شیب	فاصله از آبراهه	فاصله از جاده	فاصله از گسل	کاربری اراضی	لیتوژوژی
E_j	۰/۹۰۷۰۱	۰/۰۹۵۱۷۱	۰/۹۹۸۱۱۰	۰/۹۶۷۱۴۱	۰/۹۴۱۱۳	۰/۰۹۴۲۱۱۰	۰/۰۹۹۱۱۲۰	۰/۹۷۱۰۱	۰/۹۹۸۷۱	۰/۱۱۵۴
d_j	۰/۹۰۷۰۱	۰/۴۴۱۱۱	۰/۰۰۲۰۵۴	۰/۰۱۱۲۱۱	۰/۰۱۴۷۰۱	۰/۱۱۳۰۱	۰/۰۹۱۷۱۲۰	۰/۰۹۷۲۰۱	۰/۱۱۲۹۰۱	۰/۰۵۱۱۶۲
W_j	۰/۰۲۱۱۳	۰/۰۳۱۱۴۲	۰/۰۱۱۰۲۴	۰/۰۱۱۶۱۱۰	۰/۰۱۱۳۴۲	۰/۰۴۵۱۶۱	۰/۱۱۳۴۰۱	۰/۰۹۹۸۷۱	۰/۹۹۷۱۱۰	۰/۰۴۵۵۷

مأخذ: نگارندگان

پس از تبدیل معیارها به عدد صحیح و تشکیل ماتریس اولیه مقدار (p_{ij}) از رابطه ۱ و مقدار (k) از رابطه ۳ محاسبه شد. برای محاسبه مقدار (E_j) برای هر معیار از رابطه ۲ استفاده شد که مقادیر آن محاسبه شد(جدول ۲). در این ربطه E که مقدار آن تابع n است، برای هر n دلخواه در صورتی که (P_i) برابر باشد، E بیشینه مقدار می‌شود که از توزیع احتمال (P_i) بر اساس آماری محاسبه می‌شود. سپس عدم اطمینان یا درجه انحراف هر معیار (d_j) که از کسر مقدار(E_j) از عدد ۱ حاصل می‌شود به ازای شاخص‌های موثر در زمین لغزش منطقه محاسبه شد(جدول ۲). سپس با استفاده از رابطه ۵، وزن هر یک از پارامترهای استفاده شده در ماتریس

آنتروپی زمین لغزش (Wj) که شامل ارتفاع(۰/۰۲۱۱۳)، بارندگی(۰/۰۳۱۱۴۲)، جهت شیب(۰/۰۱۱۰۲۴)، شکل شیب(۰/۰۱۱۶۱۰)، شیب(۰/۰۱۱۳۴۲)، فاصله از آبراهه(۰/۰۴۵۱۶۱)، فاصله از جاده(۰/۱۱۳۴۰۱)، فاصله از گسل(۰/۰۹۹۸۷۱)، کاربری اراضی(۰/۹۹۷۱۱۰)، لیتولوژی(۰/۰۹۵۱۴۸) است حاصل شد. بنابراین مدل ناحیه ای میزان خطر زمین لغزش در منطقه با استفاده از رابطه ۶ به دست آمد.

$$Hi = (H \times 0/02113) + (R \times 0/031142) + (S \times 0/011024) + (C \times 0/011610) + (A \times 0/011342) + (XS \times 0/045161) + (XG \times 0/113401) + (F \times 0/099871) + (K \times 0/997110) + (Df \times 0/455793)$$

رابطه ۷:

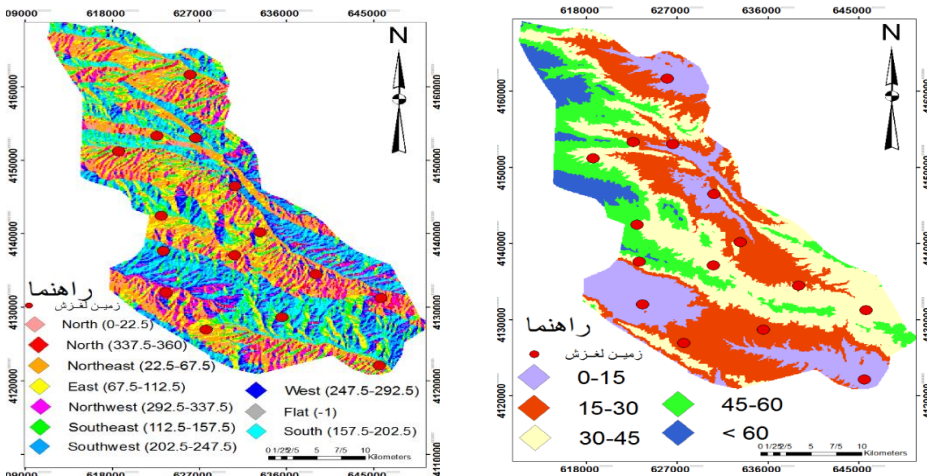
$$Hi = (H \times 0/02113) + (R \times 0/031142) + (S \times 0/011024) + (C \times 0/011610) + (A \times 0/011342) + (XS \times 0/045161) + (XG \times 0/113401) + (F \times 0/099871) + (K \times 0/997110) + (Df \times 0/455793)$$

در این پژوهش، به منظور پنهانی بندی خطر زمین لغزش از ده پارامتر تاثیر گذار شامل ارتفاع، بارندگی، شیب، جهت شیب، شکل شیب، فاصله از آبراهه، فاصله از جاده، فاصله از گسل، پوشش زمین و لیتولوژی استفاده شد که به صورت رستر رقومی شده و امتیاز دهی شدند. یکی از مهمترین عوامل مؤثر در لغزش منطقه عامل شیب می‌باشد، در نواحی مرتفع استان به علت وجود چین خوردگی‌ها و ارتفاعات بلند، شیب‌های تندر بسیار زیاد است، نقشه شیب منطقه بر پایه مدل ارتفاعی رقومی (DEM) تهییه شد و تغییرات شیب متوسط دامنه‌ها از صفر تا ۶۰ درجه تعیین شد. تعداد ۸ زمین لغزش منطقه در شیب بیش از ۶۰ درجه رخ داده است(شکل ۲). جهت شیب از عوامل تاثیر گذار در میزان دریافت نور و میزان بارش در جهات مختلف است. در منطقه مورد مطالعه دامنه‌های شمالی در طول روز به دلیل دریافت کمتر تابش خورشیدی از میزان بارش بیشتری برخوردار بوده و مرطوب و پر باران است. در جهات دیگر دامنه‌ها به دلیل دریافت بیشتر تابش خورشیدی و جهت حرکت عمومی بادها از آب و هوای خشکی برخوردار بوده و تاثیر کمتری در وقوع زمین لغزش دارند(شکل ۳). بررسی شکل شیب نشان می‌دهد

که بیشترین لغزش‌های منطقه در شبیه‌های محدب رخ داده و این عامل نقش موثری در همگرایی و واگرایی جریان انتقالی از بالا دست به پایین دست منطقه داشته است(شکل ۴). فاصله از آبراهه از عوامل تعیین کننده در وقوع زمین لغزش است. اختلاف سطح ایجاد شده بین کف دره و ارتفاعات و برش پای دیواره از عوامل موثر جدا کننده سنگ‌ها است. در عامل فاصله از آبراهه بیشترین لغزش در فاصله >100 متری و کمترین لغزش در فاصله 1500 متری قرار دارد (شکل ۵). فاصله از جاده به دلیل تغییر شبیه دامنه‌ها، جاده سازی، خاک برداری و زیر بری دامنه‌ها از دیگر عوامل تاثیر گذار در وقوع زمین لغزش است. بیشترین میزان زمین لغزش در فاصله <100 متری و کمترین میزان زمین لغزش در فاصله >300 متر در منطقه اتفاق افتاده است(شکل ۶). میان فاصله از گسل و وقوع زمین لغزش رابطه معکوسی وجود دارد. این عامل به دلیل شکستگی در لایه‌ها و خرد شدگی سنگ‌ها باعث کاهش مقاومت دامنه‌ها می‌شود. بیشترین میزان لغزش رخ داده در فاصله <300 متری و کمترین میزان در فاصله >1500 متری رخ داده است(شکل ۷).

انواع مختلف پوشش زمین عملکرد متفاوتی در وقوع زمین لغزش دارد. اراضی دیمی و مرتعی به دلیل نقش انسان در تخریب پوشش گیاهی، استفاده نادرست از مراعع مرغوب، بیشترین تاثیر را در وقوع زمین لغزش دارد(شکل ۸). لیتلولوژی و نوع جنس سنگ‌ها به دلیل تفاوت در نوع رسوبات تشکیل دهنده و شرایط شکل گیری، از عوامل تاثیر گذار در لغزش است. بیشترین میزان لغزش‌های لغزش در منطقه در سنگ‌های آهکی، مارنی و شیل‌ها می‌باشد(شکل ۹). عامل ارتفاع تاثیر به سزایی در تغییرات دما و بارش دارد و از عوامل مهمی در ثبات پایداری یک منطقه محسوب می‌شود. مرتفع ترین نقطه در منطقه مورد مطالعه 1600 متر و کم ارتفاع ترین نقطه در ارتفاع 800 متر است. بیشترین میزان لغزش رخ داده در ارتفاع 1600 متری به وقوع پیوسته است(شکل ۱۰). بارش از جمله عواملی است که رابطه مستقیمی با زمین لغزش دارد. بررسی عامل بارش در منطقه بیانگر آن است که بیشترین لغزش‌های منطقه زمانی رخ داده است که بارش در منطقه زیاد است. در

زیر کلاس < 300 متر بیشترین لغزش در منطقه اتفاق افتاده است(شکل ۱۱). با استفاده از رابطه ۷ و ضرب نمودن هر کدام از عوامل در نقشه رستره مربوط به



خود و جمع نقشه های حاصل، در نهایت

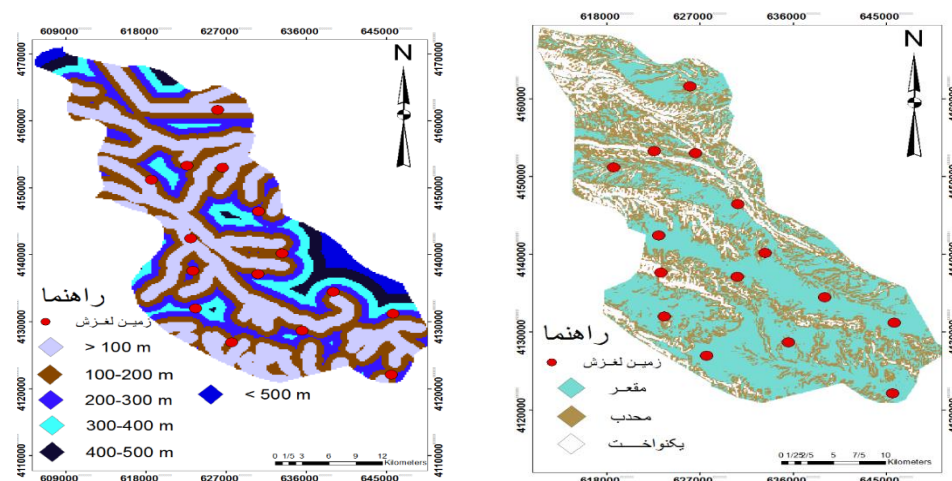
نقشه پهنه بندی زمین لغزش های منطقه در سه کلاس کم، متوسط و زیاد تهیّه شد(شکل ۱۲). جدول شماره ۳ میزان تاثیر هر یک از عوامل بررسی شده در وقوع زمین لغزش در منطقه مورد مطالعه را نشان می دهد.

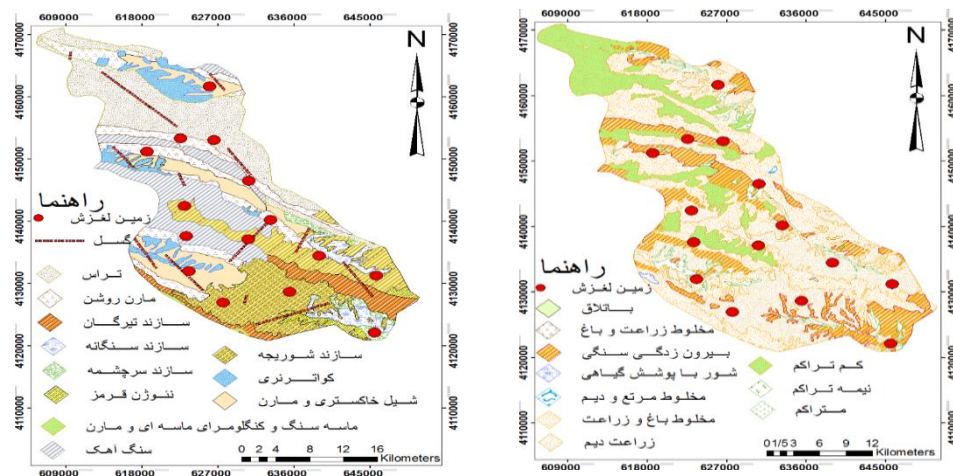
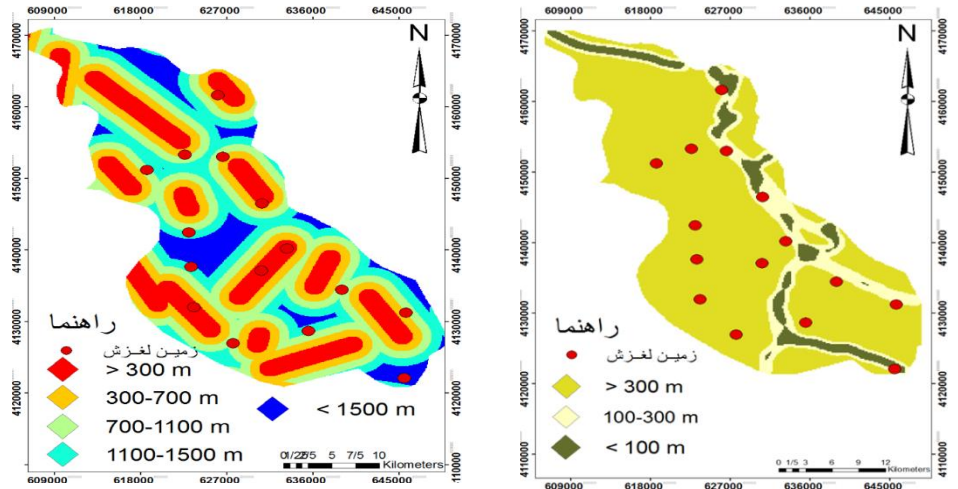
شکل ۲: شیب

شکل ۳: جهت شیب

شکل ۴: شکل شیب

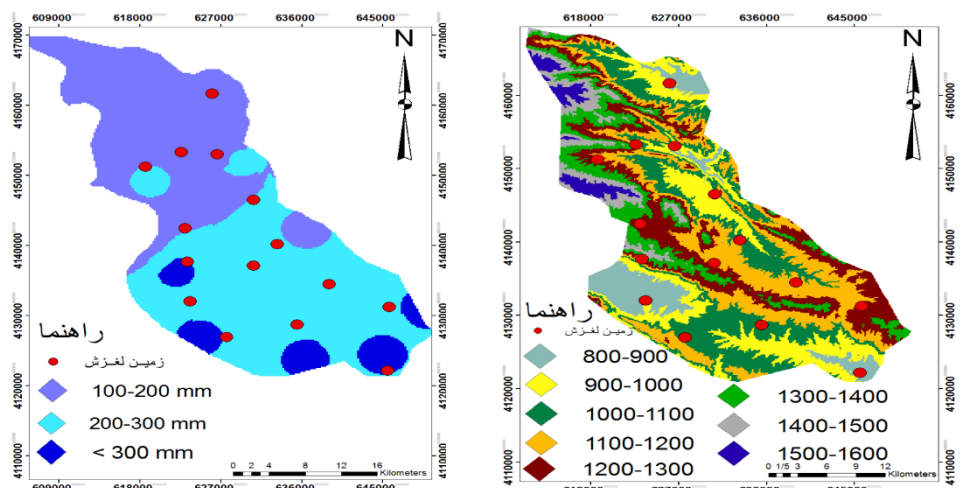
شکل ۵: فاصله از آبراهه





شکل ۶: فاصله از جاده

شکل ۷: فاصله از گسل

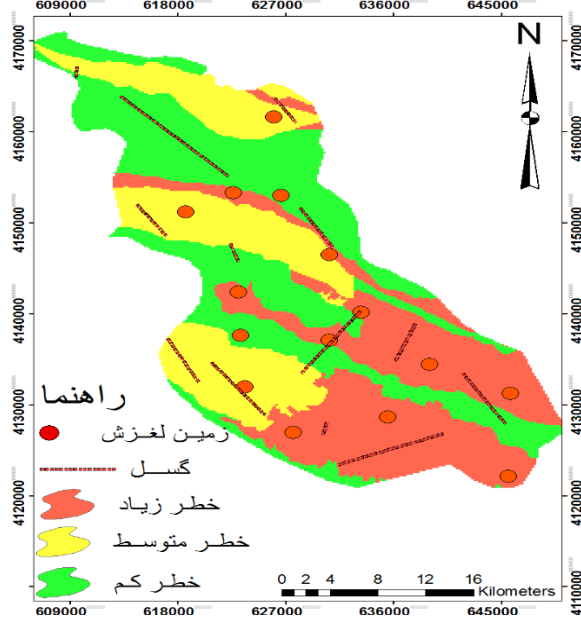


شكل ٩: لیتولوژی

شكل ٨: پوشش زمین

شكل ١٠: ارتفاع

شكل ١١: بارندگی



شکل ۱۲: پهنه بندی خطر وقوع زمین لغزش

جدول ۳: مساحت، درصد و تعداد لغزش رخ داده در مناطق خطر زیاد، متوسط و کم

پهنه های لغزشی	مساحت(Km2)	درصد زمین لغزش	تعداد زمین لغزش
خطر زیاد	۴۱۰	۴۲	۹
خطر متوسط	۲۳۴	۳۱	۴
خطر کم	۱۷۳	۲۷	۲
مجموع	۸۱۷	۱۰۰	۱۵

ماخذ: نگارندهان

نتیجه گیری:

هدف از تحقیق حاضر اولویت بندی عوامل موثر بر وقوع زمین لغزش و پهنه بندی حساسیت آن در منطقه باجگیران با استفاده از شاخص آنتروپی است. نتایج این پژوهش نشان می‌دهد که مهمترین عوامل موثر در زمین لغزش منطقه مورد مطالعه لایه‌های شبیب، جهت شبیب، لیتولوزی، فاصله از گسل و ارتفاع می‌باشند. پس از وزن دهی پارامترها و تشکیل ماتریس آنتروپی اقدام به تهیّه نقشه پهنه بندی شد. بدین منظور ابتدا لایه‌های اطلاعاتی در محیط نرم افزار Arc Gis تهیّه و به فرم رستری تبدیل شدند. با توجه به نقشه پهنه‌بندی به دست آمده حاصل از مدل آنتروپی ۱۵ زمین لغزش در منطقه به وقوع پیوسته است که ۹ لغزش در پهنه خطر زیاد(٪۴۲)، ۴ لغزش در پهنه خطر متوسط(٪۳۱) و ۲ لغزش در پهنه خطر کم(٪۲۷) قرار می‌گیرد. در مورد عامل شبیب میتوان گفت بیشترین لغزش در شبیب بیش از ۶۰ درصد اتفاق افتاده که به دلیل عدم وجود فرایند خاکزایی مستعد حرکات دامنه‌ای است. در مورد عامل جهت شبیب، بیشترین لغزش در دامنه‌های شمالی و ارتفاع ۱۶۰۰ متری به وقوع پیوسته که منطبق با گسل‌های منطقه و تشکیلات آهکی، مارنی و شیلی است. نتایج حاصل از این تحقیق نشان داد که مدل آنتروپی در شناسایی مناطق خطر و پهنه بندی آن در منطقه مورد مطالعه از عملکرد مناسبی برخوردار می‌باشد. همچنین از نتایج این پژوهش می‌توان در تصمیم‌گیری و مدیریت کاربری زمین و برنامه‌یزی شهری استفاده کرد.

منابع و مأخذ:

احمدآبادی، علی، رحمتی، مریم (۱۳۹۴)، کاربرد شاخصهای کمی ژئومورفومتریک در شناسایی پهنه‌های مستعد زمین‌لغزش با استفاده از مدل SVM (مطالعه موردی: آزادراه خرم‌آباد – پل زال)، پژوهش‌های کمی، سال ۴، شماره ۳، صص ۱۹۷-۲۱۳.

بای، ناصر، حاجی میرحیمی، سید محمود (۱۳۸۷)، پهنه‌بندی خطر زمین لغزش با استفاده از روش AHP، همايش ژئوماتیک، صص ۹.

بهشتی راد، مسعود، فیض نیا، سادات، سلاجقه، علی، احمدی، حسن (۱۳۸۸)، بررسی کارایی مدل پهنه‌بندی خطر زمین لغزش فاکتور اطمینان (CF)، مطالعه موردی حوزه آبخیز معلم کلایه، فصلنامه جغرافیای طبیعی، سال ۲، شماره ۵، صص ۲۸-۱۹.

پورقاسمی، حمیدرضا، مرادی، حمیدرضا، فاطمی عقدا، سید محمود (۱۳۹۳)، اولویت‌بندی عوامل مؤثر بر وقوع زمین‌لغزش و پهنه‌بندی حساسیت آن با استفاده از شاخص آنتروپی شانون، مجله علوم و فنون کشاورزی و منابع طبیعی، علوم آب و خاک، سال ۱۸، شماره ۷۰، صص ۱۹۱-۱۸۱.

پورقاسمی، حمیدرضا، مرادی، حمیدرضا، محمدی، مجید، مصطفی‌زاده، رئوف، گلی جیرنده، عباس (۱۳۹۱)، پهنه‌بندی خطر زمین‌لغزش با استفاده از تئوری بیزین، مجله علوم و فنون کشاورزی و منابع طبیعی، علوم آب و خاک، سال ۱۶، شماره ۶۲، صص ۱۰۹-۱۲۱.

جوادی، محمد رضا، طهرانی پور، ۵، غلامی، ش، ع، فتاحی اردکانی، م. ع (۱۳۹۱)، مقایسه روش‌های مورا و وارسون و رگرسیون چندمتغیره در پهنه‌بندی خطر زمین لغزش حوضه آبخیز کن، پژوهشنامه مدیریت حوضه آبخیز، سال ۳، شماره ۵، صص ۱۰۵-۹۲.

حاتمی‌فرد، رامین، موسوی، سید حجت، علیمرادی، مسعود (۱۳۹۱)، پهنه‌بندی خطر زمین لغزش با استفاده از مدل AHP و تکنیک GIS در شهرستان خرم‌آباد، جغرافیا و برنامه‌ریزی محیطی، سال بیست و سوم، پیاپی ۴۷، شماره ۳، صص ۴۳-۶۰.

حسین پور میل آغاردان، امین، عباسپور، رحیم علی (۱۳۹۳)، بهبود نتایج پیش‌بینی وقوع زمین لغزش با استفاده از تئوری آنتربی شانون، دانش مخاطرات، دوره ۱. شماره ۲، صص ۲۵۳-۲۶۸.

حسینزاده، سید رضا، قربانی شورستانی، علی، نورمحمدی، علی محمد، رضایی عارفی، محسن (۱۳۹۴)، بررسی عوامل مؤثر بر وقوع زمین‌لغزش با استفاده از GIS و RS (مطالعه موردی سد دوستی)، هیدرروژئومورفولوژی، شماره ۴، صص ۲۱-۳۸.

راکعی، بابک، خامه چیان، مasha'alleh، عبدالملکی، پرویز، گیاهچی، پانته آ (۱۳۸۹)، کاربرد سیستم شبکه عصبی مصنوعی در پنهانبندی خطر زمین‌لغزش، مطالعه موردی: ناحیه سفیدار گله در استان سمنان، مجله علوم دانشگاه تهران، جلد ۳۳، شماره ۱، صص ۵۷-۶۴.

روستایی، شهرام، مختاری، داوود، حسینی، زهرا، اطمانتی حقیران، مهدی (۱۳۹۴)، بررسی پتانسیل وقوع زمین لغزش در حوضه آبخیز رودخانه میمه در استان ایلام به روش تحلیل شبکه (ANP)، هیدرروژئومورفولوژی، شماره ۴، صص ۱۰۱-۱۲۳.

سوری، سلمان، لشکری‌پور، غلامرضا، غفوری، محمد (۱۳۹۰)، پنهانبندی خطر زمین‌لغزش با استفاده از شبکه عصبی مصنوعی مطالعه موردی: حوضه کشوری (نوزیان)، زمین‌شناسی مهندسی، جلد ۵، شماره ۲، صص ۱۲۶۹-۱۲۸۶.

شریفی. رضا، میرآبادی. احمد، ارفع، احسان (۱۳۹۰)، بررسی و انتخاب سیستم سیگنالینگ مناسب به روش آنتربی- پرموتی برای راه آهن چابهار- زاهدان، فصلنامه مهندسی حمل و نقل، سال ۲، شماره ۴، صص ۳۴۶-۳۳۵.

شریفی، رحمان، دریاباری، سیدجمال (۱۳۸۴)، روش نیلسن و بهینه سازی آن در پنهانه بندی خطر زمین لغزش، فصلنامه تحقیقات جغرافیایی، سال ۲۰، شماره ۱، پیاپی ۷۶، صص ۷۸-۸۹.

علیپور، حمید، ملکیان، آرش (۱۳۹۴)، پنهانه بندی خطر زمین لغزش در حوضه-ی آبخیز جهان اسپراین خراسان شمالی، فصلنامه جغرافیا و توسعه، سال ۱۳، شماره ۳۹، صص ۱۶۵-۱۸۰.

فرداد، مهدی، آل شیخ، علی اصغر، حکیمپور، فرشاد، وفایی نژاد، علیرضا (۱۳۹۰)، پنهانه بندی حساسیت خطر زمین لغزش با روشهای منطق فازی (Fuzzy) و شبکه عصبی (Neural Network) در GIS، (مطالعه موردی منطقه مال خلیفه)، پانزدهمین همایش زمین شناسی ایران، صص ۸.

کامرانزاد، فرناز، محصل افشار، عماد، مجرب، مسعود، معماریان، حسین (۱۳۹۳)، پنهانه بندی خطر زمین لغزش در استان تهران با استفاده از روشهای داده محور و تحلیل سلسله مراتبی، علوم زمین، سال ۲۵، شماره ۹۷، صص ۱۰۱-۱۱۴.

کردی، عبدالواحد، دشتی مرویلی، مریم، معتمد وزیری، بهارک (۱۳۹۱)، پنهانه بندی خطر زمین لغزش با استفاده از رگرسیون چند متغیره (مطالعه موردی: حوزه آبخیز کوهسار)، پژوهش‌های فرسایش محیطی، سال ۲، شماره ۸، صص ۴۹-۶۱.

محمد خان، شیرین، ویسی، عبدالکریم، باقری، کیوان (۱۳۹۳)، پتانسیل سنگی خطر زمین لغزش با استفاده از مدل آنتروپی، مطالعه موردی (منطقه کوهستانی شیرپناه در جنوبغرب استان کرمانشاه)، فصلنامه جغرافیایی سرزمین، سال ۱۱، شماره ۴۴، صص ۱۰۳-۸۸.

معماریان، حمید، سیارپور، مجید (۱۳۸۵)، نقش پارامتر شیب دامنه در بروز خطا در پهنه‌بندی خطر زمین لغزش، نشریه دانشکده فنی، جلد ۴۰، شماره ۱۰۵، صص ۱۳-۱۰۵.

مقیمی، ابراهیم، باقری سیدشکری، سجاد، صفرزاد، طاهر (۱۳۹۱)، پهنه‌بندی خطر وقوع زمین لغزش با استفاده از مدل آنتروپوی (مطالعه‌ی موردی: تاقدیس نسار زاگرس شمال غربی)، پژوهش‌های جغرافیای طبیعی، شماره ۷۹، صص ۷۷-۹۰.

نصرآزادانی، احمد، شیرانی، کوروش (۱۳۸۸)، ارزیابی و مقایسه روش‌های پهنه‌بندی آماری دو متغیره با استفاده از GIS (مطالعه موردی حوضه آبخیز دز علیا)، همایش ژئوماتیک.

Bednarik , M. Magulova , B . Matys , M. Marschalko , M 2010, Landslide susceptibility Assessment of the kral ovany – Liptovsky Mikulas Railways case study , physics and chemistry of the Earth , pp .162 – 171.

Sharma, L. P; Patel, Nilanchal; Ghose M. K; and Debnat P. 2012. Influence of Shannon 's entropy on landslide-causing parameters for vulnerability study and zonation — a case study in Sikkim, India, Arab J Geosci. 5:421– 431.

Zou, Zuyin; Chen, H; Chen, Y; Long, X. (2016). Stability Analysis of Slope Based on Hierarchical Analysis of Fuzzy Entropy, Vol. 21, pp: 1399-1416.